



ارائه شده توسط:

سایت ترجمه فا

مرجع جدیدترین مقالات ترجمه شده

از نشریات معتبر

## بیان ژن مرتبط با سلول بنیادی سرطان به عنوان یک بیومارکر بالقوه برای

### پاسخ به ایمی پریدن **ONC201** رده اولی در تومورهای جامد

#### چکیده

سلول‌های بنیادی سرطان (CSCs) با عود، متاستاز و بقا ضعیف در مطالعات بالینی مرتبط هستند. نتایج امیدبخش به دست آمده از کارآزمایی‌های بالینی مهارکننده‌های CSC، CSCs را به عنوان اهداف درمانی تایید کرده است. ONC201 یک مولکول کوچک ایمی پریدن رده اولی، در کارآزمایی‌های بالینی I/II برای سرطان پیشرفته می‌باشد. ما قبلاً نشان داده بودیم که ONC201، خود نوزایی CSCs های کلورکتال مقاوم به شیمی درمانی را توسط مهار Akt/ERK و القا DR5/TRIL هدف می‌گیرد. در این مطالعه، ما نشان دادیم که اثرات ضد ONC201 CSC شامل تغییرات اولیه در بیان ژن مرتبط با سلول بنیادی قبل از القا مرگ سلولی تومور می‌باشد. یک آنالیز شبکه‌ی هدفمند از پروفایل بیان ژن در سلول‌های سرطان کلورکتال نشان داد که ONC201، مسیرهای سلول بنیادی مانند سیگنالینگ Wnt را دچار فروتنی می‌کند و ژن‌هایی که مسئول تنظیم خود نوزایی (ID1, ID2, ID3 و ALDH7A1) در سرطان کلورکتال و پروستات و گلیوبلاستوما هستند را تعدیل می‌کند. تغییرات میانجی‌گری شده با ONC201 در بیان ژن مرتبط با CSC، در سطح RNA و پروتئین برای هر نوع سلولی تایید شده است. از این رو، ما مهار خود نوزایی و مارکرهای CSC را در رده‌ی سلولی سرطان پروستات و سلول‌های گلیوبلاستوما‌ی گرفته شده از بیمار به محض تیمار با ONC201 مشاهده کردیم. به طرز قابل توجهی، تقلیل CSC میانجی‌گری شده با ONC201 در سلول‌های سرطان کلورکتال که به ONC201 مقاوم شده بودند، رخ نداده بود. در نهایت، ما مشاهده کردیم که بیان پایه‌ی ژن‌های مرتبط با CSC (ID1, CD44, HES7 و TCF3) به طور معنی‌داری با اثربخشی ONC201 در بیشتر از ۱۰۰۰ رده‌ی سلولی سرطان مرتبط می‌باشد و ترکیب بیان چندین ژن موجب ایجاد یک پیش‌گویی کلی قوی‌تر شده بود. این مطالعات اثبات ایده، یک منطقی را برای تست بیان CSC در سطح RNA و پروتئین به عنوان یک بیومارکر پیش‌گو و فارماکوداینامیک برای پاسخ ONC201 در مطالعات بالینی در حال پیشرفت فراهم کرده است.

## مقدمه

چندین مطالعه‌ی بالینی ارتباط سلول‌های بنیادی سرطان (CSCs) با عود، متاستاز و بقا ضعیف در تومورهای جامد را اثبات کرده‌اند (۱-۳). پاسخ‌های عینی اخیر مشاهده شده در فاز I/II کارآزمایی‌های بالینی عوامل مختلف هدف‌گیرنده‌ی CSC در یک تعدادی از تومورهای جامد پیشرفته‌ی مقاوم، اهمیت CSCs را به عنوان یک عامل درمانی، بیشتر از پیش تایید کرده است (۴-۶).

مولکول‌های کوچک رده اولی ایمپیریدن ONC201، اخیراً در فاز I/II کارآزمایی‌های بالینی برای سرطان پیشرفته قرار دارند (۷). اولین مطالعه‌ی فاز I انسانی در تومورهای جامد پیشرفته، ONC201 را ایمن اثبات کرده است و فارماکوکینتیک پیش‌گویی شده را نشان داده است. فارماکوداینامیک و کوچک شدن تومور را تقویت کرده است (۸). اثربخشی ضد CSC ONC201، قبلاً در محیط *in vitro* و *in vivo* در سرطان کلورکتال و لوسمی میلوئیدی حاد (AML) اثبات شده بود (۹-۱۰). کاهش میانجی‌گری شده با ONC201 در CSCs‌های کلورکتال مقاوم به شیمی‌درمانی شامل غیرفعال کردن همزمان سیگنالینگ Akt و ERK می‌باشد که منجر به فعال شدن فاکتور رونویسی Foxo3 می‌شود که آن‌هم به نوبه‌ی خود موجب مهار وابسته به DR5/TRAIL خود نوزایی می‌شود (۱۱،۹). در مطالعه‌ی اخیر، ما ارزیابی کردیم که آیا اثرات ضد CSC ONC201 شامل تغییرات اولیه در بیان ژن مرتبط با سلول بنیادی قبل از مرگ سلولی تومور می‌شود یا خیر. ما بررسی کردیم که آیا مهار CSCs میانجی‌گری شده با ONC201 قابل بسط به سایر تومورها هم می‌باشد یا نه. به علاوه، ما تست کردیم که آیا بیان CSC می‌تواند به عنوان یک بیومارکر بالقوه برای پاسخ ONC201 به خدمت گرفته شود یا خیر.

## مواد و روش‌ها

### کشت سلولی و معرف‌ها

سلول‌های HCT116p53-/- به لطف دکتر برت ووگلستین از دانشگاه جان هاپکینز تهیه شدند. سلول‌های RKO مقاوم به ONC201 قبلاً در آزمایشگاه ما در ۲۰۱۲-۲۰۱۳ تولید شده بودند (۱۲). همه‌ی رده‌های سلولی دیگر از کلکسیون کشت‌گونه‌ی آمریکایی به دست آمدند و همانطوری که قبلاً توصیف شده بود کشت داده شدند

(۱۱،۱۲). سلول‌ها هر ماه توسط مشاهده‌ی رشد و خصوصیات مورفولوژیک تایید شدند. **ONC201** توسط موسسه‌ی انکوکیوتیک (داروی سرطان) فراهم شد.

### **کشت توموروسفر**

توموروسفرها همانطوری که قبلاً توصیف شده بود، (۹) تحت شرایط رشد غیر چسبنده در پلیت‌های با چسبندگی پایین اولترا (کورنینگ) با استفاده از محیط کشت انسانی ماموکالت (تکنولوژی‌های سلول بنیادی) طبق پروتکل کارخانه کشت داده شدند. سلول‌ها (۱۰۰۰ - ۲۰۰۰۰ در هر ول) روی محیط کشت حاوی **DMSO** یا **ONC201** سید شدند. کولونوسفرهای به اندازه‌ی بیشتر از ۶۰ میکرومتر شمارش شدند.

### **سلول‌های گلیوبلاستوما‌ی گرفته شده از بیماران**

۴ رده با استفاده از کشت نروسفر از گلیوبلاستوما‌های درمان نشده (**GBM8**، **GBM18**) و عود کننده (**GBM67R** و **GBM152**) به دست آمدند. تست‌های بقا سلولی با استفاده از غلظت‌های مشخصی از **ONC201** اجرا شد و مقادیر **IC50** محاسبه شدند.

### **پروفایل بیان ژن و آنالیز شبکه**

پروفایلینگ بیان ژن **HCT116**، **RKO** و سلول‌های **RKO** مقاوم به **ONC201** با تیمار **DMSO** یا **ONC201** برای نقاط زمانی مشخص شده در مطالعات قبلی انجام شد و داده‌های به دست آمده از این مطالعات میکرواری در **Omnibus** بیان ژن **NCBI** قرار داده شد (۱۱،۱۲). برای آنالیز شبکه‌ی تغییرات رونویسی مرتبط با سلول بنیادی القا شده توسط **ONC201**، مجموعه‌ی داده‌ها با نرم افزار آنالیز مسیر **Ingenuity** آنالیز شد.

### **RT-PCR کمی (qRT-PCR)**

**RNA** کل با استفاده از کیت **MiniPrep** کوئیک - **RNA** (تحقیقات زیمو، ایروین، **CA**) جداسازی شد. ۵ میکروگرم از **RNA** کل از هر نمونه، در معرض سنتز **cdNA** با استفاده از کیت رونوشت بردار معکوس سوپراسکرپیت III قرار گرفت (فناوری‌های زندگی، جزیره‌ی بزرگ، **NY**). بیان نسبی گزارش شده‌ی مارکرهای سلول بنیادی با استفاده از **PCR** ریل تایم که روی سیستم ریل تایم **PCR** سریع **7900HT** بیوسیستم‌های کاربردی انجام شده بود، تعیین شد. هر نمونه‌ی **cdNA** با استفاده از پاور سایبر گرین (بیوسیستم‌های کاربردی **CA**) تکثیر شد. به طور خلاصه، شرایط واکنش شامل ۰،۴ میکرولیتر از **cdNA** و ۰،۲ میکرومولار از پرایمرها در

یک حجم نهایی ۱۰ میکرولیتر از مخلوط qPCR بود. هر سیکل شامل دناتوراسیون در ۹۵ درجه سانتی گراد به مدت ۱۵ ثانیه، آنیلینگ در ۶۰ درجه سانتی گراد به مدت ۱۵ ثانیه و طویل شدن در ۷۲ درجه سانتی گراد به مدت ۱ دقیقه بود. هر سیکل توسط منحنی‌های افتراق برای هر نمونه دنبال شد. پرایمرها برای مارکرها در جدول S1 فهرست شده است. GAPDH به عنوان یک کنترل درون زاد برای نرمال سازی هر نمونه مورد استفاده قرار گرفت. حداقل دو آزمایش مستقل مختلف برای هر نتیجه اجرا شد و هر آزمایش سه بار تکرار شد.

### وسترن بلات

وسترن بلات همانطوری که قبلاً توصیف شده بود انجام شد (۹،۱۱،۱۲). آنتی بادی‌های زیر مورد استفاده قرار گرفتند: CD44 (سیگنالینگ سلولی)، ALDH (BD)، ID1 (سانتا کروز)، ID2 (سانتا کروز)، ID3 (سانتا کروز) CD133 (بیوتکنولوژی سانتا کروز)، WNT16 (BD) و Ran (BD). پراکسیداز horse radish (ریشه خردل) لیبیل شده با آنتی بادی‌های ثانویه از پیرس تهیه شد.

داده‌های آنالیز بیان ژن به دست آمده از ژنومیک حساسیت دارو در تست رده سلولی (GDSC)

### سرطان

تست‌های بقا سلولی با رده‌های سلولی GDSC (۱۰۰ رده‌ی سلول سرطان انسانی) در ۷۲ ساعت بعد از تیمار با ONC201 به منظور تولید منحنی‌های پاسخ دوز در غلظت‌هایی از ۷۸ نانومولار تا ۲۰ میکرومولار همانطور که قبلاً توصیف شده بود، انجام شد (۷). داده‌های بیان ژن، از پروژه‌ی رده‌های سلولی COSMIC با استفاده از یک پلت فرم آرایه‌ی U219 ژنوم انسانی affymetrix دانلود شد. رده‌های سلولی GDSC در گروه‌های با بیان پایین و بالا، به ترتیب بر اساس یک امتیاز کات آف Z -۱ و ۱ جداسازی شدند. داده‌ها برای ایجاد IC50 آنالیز شدند. یک تست کولموگروف - اسمیرنوف (با استفاده از روش تست ks در زبان برنامه نویسی R) برای تست معنی داری آماری توسط آمار D همراه، برای سنجش درجه‌ی جدایی بین این دو گروه مورد استفاده قرار گرفت.

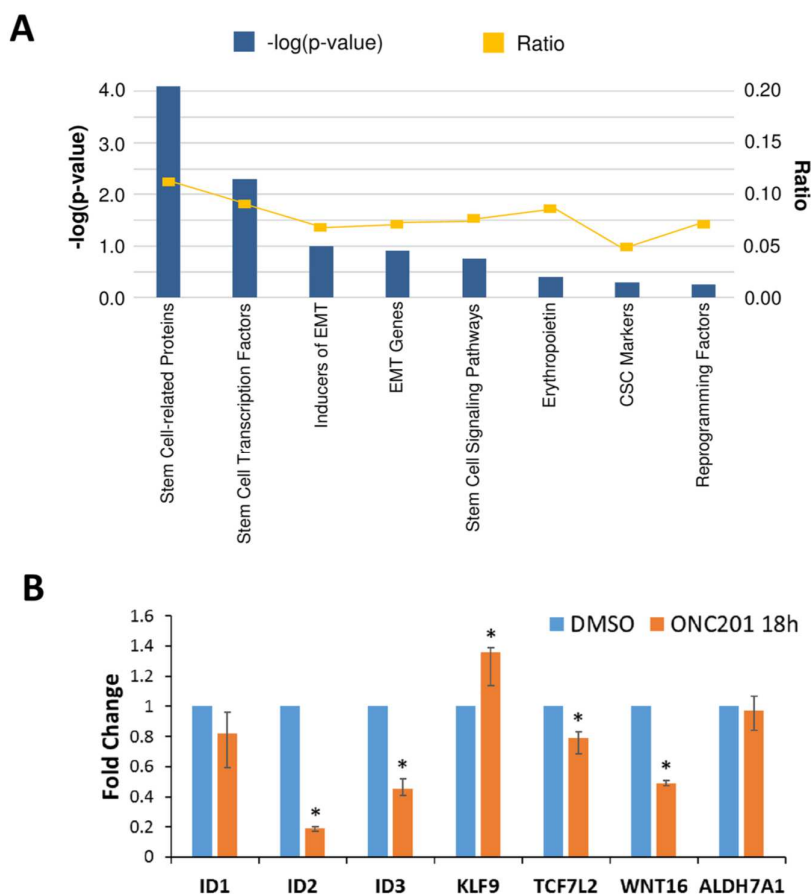
### سایر آنالیزهای آماری

داده‌ها به صورت میانگین  $\pm$  انحراف استاندارد یا خطای استاندارد میانگین از حداقل ۳ تکرار ارائه شده‌اند. T تست دو دنباله‌ای دانش آموزی در محیط اکسل (میکروسافت) برای آنالیز دوجفتی مورد استفاده قرار گرفت. تغییرات آماری معنی دار (\*) در اشکال توسط p-value‌ها نشان داده شده است.

## نتایج

### ONC201 بیان ژن مرتبط با سلول‌های بنیادی را تنظیم می‌کند

یک آنالیز شبکه‌ی هدفمند از پروفایل‌های بیان ژن سلول‌های سرطان کولون انسانی بدون p53 HCT116 تیمار شده با ONC201 (۱۸ ساعت و ۴۸ ساعت) نشان داد که چندین ژن مرتبط با سلول بنیادی، فاکتورهای رونویسی و مسیرهای سیگنالینگ به طور معنی داری توسط این ترکیب تنظیم می‌شوند (شکل 1A و جداول S2-S4). به طور اختصاصی، سطوح ID1 mRNA (تنظیم CSC گلیوبلاستوما / کولون (۱۳)، ۲,۵ مرتبه)، ID2 (تنظیم سلول بنیادی گلیوما (۱۳)، ۳,۲ مرتبه)، ID3 (تنظیم CSC گلیوما / کولون (۱۳)، ۲,۹ مرتبه)، ALDH7A1 (متاستاز / مارکر CSC پروستات (۱۴)، ۲ مرتبه) به طور معنی داری دچار فروتنظیمی شده بود و KLF9 (مهار کننده‌ی سلول بنیادی گلیوبلاستوما (۱۵)، ۱,۵ مرتبه) به طور معنی داری در سلول‌های تهی از HCT116 p53 به محض ۴۸ ساعت بعد از تیمار با ONC201 دچار فراتنظیمی شده بود (جدول ۱)، که شاخصی از اثرات بالقوه‌ی ضد CSC در این تومورهای جامد می‌باشد.



شکل ۱. **ONC201**، بیان ژن مرتبط با سلول بنیادی را تنظیم می‌کند. (A) خلاصه‌ای از آنالیز شبکه‌ی هدفمند تغییرات مرتبط در سلول بنیادی در سلول‌های بدون **HCT116p53** تیمار شده با **ONC201** (۱۰ میکرومولار) توسط آنالیز مسیر **ingenuity** ( $\log(p\text{-value})$ ) برای هر گروهی از ژن‌ها نشان داده شده است. نسبت، نشان دهنده‌ی تعداد نسبی ژن‌هایی می‌باشد که به طور معنی داری به محض تیمار با **ONC201** در مقایسه با تعداد کل ژن‌ها در گروه، تغییر پیدا کرده بود. (B) **qRT-PCR** برای ژن‌های مرتبط با سلول بنیادی در سلول‌های بدون **HCT116 p53** تیمار شده با **DMSO/ONC201** (۵ میکرومولار، ۱۸ ساعت / ۴۸ ساعت،  $n=3$ ). \* نشان دهنده‌ی  $p < 0.02$  نسبت به **DMSO** می‌باشد.

جدول ۱. تغییرات مرتبط با مسیر **Wnt** و **CSC** میانجی‌گری شده با **ONC201** در بیان ژن.

Gene	Fold change	mRNA Level	P value	CSC function
<i>ALDH7A1</i>	2.002995	down	3.16E-03	Prostate CSC marker
<i>ID1</i>	2.518517	down	5.85E-04	Colorectal/glioblastoma CSC-related protein
<i>ID2</i>	3.2357852	down	8.49E-05	Glioma stem cell-related protein
<i>ID3</i>	2.884441	down	1.05E-03	Colorectal/glioma CSC-related protein
<i>KLF9</i>	1.542067	up	4.88E-03	Glioblastoma stem cell-related protein
<i>WNT16</i>	13.495952	down	1.98E-03	Prostate Cancer Resistance, HSC regulation
Gene	Fold change	mRNA Level	P value	Wnt pathway function
<i>WNT16</i>	13.495952	down	1.98E-03	Ligand
<i>FZD2</i>	2.989978	down	8.61E-04	Receptor
<i>FZD4</i>	3.9322994	down	1.38E-03	Receptor
<i>TCF7L2</i>	3.5501168	down	5.11E-03	Transcription factor

تغییرات القا شده با داروی مرتبط با مسیر **Wnt** و **CSC** توسط آنالیز مسیر **ingenuity** برای پروفایل‌های بیان ژن سلول‌های بدون **HCT116 p53** با **ONC201** (۱۰ میکرومولار) به مدت ۴۸ ساعت، شناسایی شد. تغییر دفعات نسبت به سلول‌های تیمار شده با **DMSO**.

همچنین سطوح mRNA ژن‌های مرتبط با مسیر **Wnt** مانند لیگاند **WNT16** (سلول‌های بنیادی خون ساز (۱۶) / ژن‌های مرتبط با مقاومت به سرطان پروستات (۱۷)، ۱۳،۵ مرتبه)، رسپتورهای **FZD2** (تنظیم کننده‌ی انتقال اپیتلیالی - مزانشیمی (EMT) / متاستاز سرطان کولون (۱۸)، ۲،۹۸ مرتبه)، **FZD4** (ریشه‌ی گلیوما (۱۹) ۳،۹ مرتبه) و فاکتور رونویسی **TCF7L2** (تمایز سلول بنیادی (۲۰)، ۳،۵۵ مرتبه) به طور معنی داری دچار فروتنظیمی شده بود (جدول ۱). ژن‌های درگیر در سیگنالینگ **Wnt**، سیگنالینگ **Hedgehog** و همه‌توانی سلول‌های بنیادی به طور معنی داری در ۱۸ ساعت اولیه‌ی تیمار با **ONC201** تعدیل شده بود (جدول ۲ و جدول S4). سپس تعدیل رونویسی مرتبط با سلول بنیادی در سلول‌های سرطان کلورکتال **RKO** به محض تیمار

با **ONC201** تایید شد (۴۸ ساعت) (جدول ۲ و جدول S5). تایید با qRT-PCR نشان داد که سطوح mRNA **WNT16**، **TCF7L2**، **ID3**، **ID2** به طور معنی داری دچار فروتنظیمی شده بود در حالی که **KLF9 mRNA** به طور معنی داری در پاسخ به تیمار **ONC201** (۱۸ ساعت) در سلول‌های بدون **p53 HCT116** دچار فراتنظیمی شده بود (شکل 1B).

به وضوح، **ONC201** به طور اختصاصی، رونویسی مرتبط با سلول‌های بنیادی را در نقاط زمانی (۱۸ و ۴۸ ساعت) که جلوتر از مرگ سلولی هستند و بعد از ۴۸ ساعت در سلول‌های تومور جامد رخ می‌دهند را تحت تاثیر قرار می‌دهند (۱۱). این اثرات اولیه روی رونویسی مرتبط با سلول بنیادی توسط مهار مارکرهای **CSC** و خود نوزایی توسط **ONC201** در ۴۸-۷۲ ساعت دنبال شد (۹).

### **ONC201، CSC را در تومورهای گلیوبلاستوما و پروستات هدف می‌گیرد**

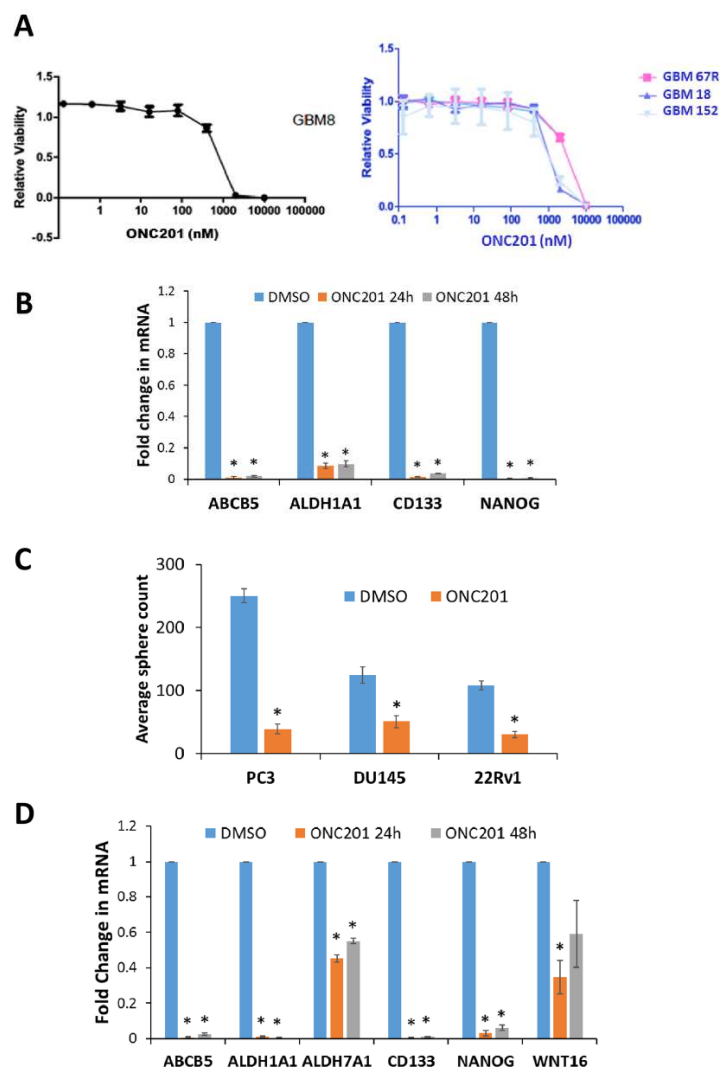
بر اساس ارتباط ژن‌های مرتبط با **CSC** که توسط **ONC201** در سرطان پروستات و گلیوبلاستوما تنظیم می‌شوند، ما اثرات **ONC201** روی بیان ژن مرتبط با **CSC** و خود نوزایی را در این نوع از تومورها تست کردیم. **ONC201** در مدل‌های کشت نوروسفر ۳ بعدی غنی از **CSC** نمونه‌های گلیوبلاستومای اولیه از جمله نمونه‌هایی که به تازگی تشخیص داده شده‌اند (**GBM18**، **GBM8**) و نمونه‌های عود کننده (**GBM152** و **GBM67R**) تست شد. **ONC201** به صورت قدرتمندی، بقا سلولی همه‌ی ۴ رده را در محیط *in vitro* مهار می‌کند و مقادیر **IC50** برابر ۴۳۳ نانومولار (**GBM18**)، ۱،۰۹ میکرومولار (**GBM8**)، ۳،۹۷ میکرومولار (**GBM67R**) و ۶۸۸ نانومولار (**GBM152**) بود (شکل 2A). ما قبلاً نشان داده بودیم که **ONC201**، مارکرهای **CSC**، **CD133**، **ALDH1A1** و **CD44** را در سلول‌های سرطان کلورکتال در محیط *in vitro* و *in vivo* دچار فروتنظیمی کرده بود (۹).

جدول ۲. تغییرات مرتبط با سلول بنیادی میانجی‌گری شده با **ONC201** در بیان ژن.



	Molecules	$-\log(p\text{-value})$	Ratio	Ingenuity Canonical Pathways
RKO cells treated with ONC201 48h	<i>RAF1, JAK1, MAPK1, RRAS, PIK3R1, HRAS, SMAD5, TCF3, PIK3R4, ID1, FZD4, PIK3C3, MAP2K1</i>	3.72E-01	1.31E-01	Mouse Embryonic Stem Cell Pluripotency
	<i>ARRB2, PRKAR1B, CDK1, CCNB1</i>	2.94E-01	1.21E-01	Sonic Hedgehog Signaling
	<i>APH1B, LFNG, HES7, DTX2, HEY1</i>	2.93E-01	1.22E-01	Notch Signaling
HCT116 cells treated with ONC201 18h and 48h	Molecules	$-\log(p\text{-value})$	Ratio	Ingenuity Canonical Pathways
	<i>ID1, ID2, FZD4, BMPR2, ID3, FZD2, TCF7L2</i>	7.2E-01	7.07E-02	Mouse Embryonic Stem Cell Pluripotency
	<i>CDK1, CCNB1</i>	3.72E-01	6.06E-02	Sonic Hedgehog Signaling
	<i>FZD4, HDAC1, BMPR2, WNT16, KREMEN2, PIN1, DKK1, FZD2, TCF7L2</i>	3.31E-01	5.17E-02	Wnt/ $\beta$ -catenin Signaling

مسیرهای مرتبط با سلول بنیادی، توسط آنالیز مسیر ingenuity برای پروفایل‌های بیان ژن سلول‌های توموری تیمار شده با ONC201 (۵ میکرومولار) شناسایی شد.



شکل ۲. ONC201، CSCs را در تومورهای پروستات و گلیوبلاستوما هدف می‌گیرد. (A) اثر غلظت‌های مشخص ONC201 (۷۲ ساعت) روی بقا سلول‌های گلیوبلاستومایی که جدیداً شناسایی شده‌اند (GBM8).

GBM18) و سلول‌های گلیوبلاستومایی عود کننده (GBM67R، GBM152) در کشت نوروسفر سه بعدی.

(B) qRT-PCR برای ژن‌های مرتبط با سلول بنیادی مشخص، در سلول‌های SNB19 تیمار شده با

DMSO/OC201 (۵ میکرومولار، ۲۴ ساعت / ۴۸ ساعت، n=3). \* نشان دهنده‌ی  $p < 0.0002$  نسبت به

DMSO می‌باشد. (C) اثر DMSO/OC201 (۵ میکرومولار، ۷۲ ساعت، n=3) روی تشکیل کره‌ی توموری

رده‌های سلول سرطان پروستات مشخص. \* نشان دهنده‌ی  $p < 0.025$  نسبت به DMSO می‌باشد. (D)

qRT-PCR برای ژن‌های مرتبط با سلول بنیادی مشخص در سلول‌های DU145 تیمار شده با

DMSO/OC201 (۵ میکرومولار، ۲۴ ساعت/۴۸ ساعت، n=3). \* نشان دهنده‌ی  $p < 0.04$  نسبت به

DMSO می‌باشد.

سازگار با این یافته‌ها، ONC201 به طور معنی داری ژن‌های مرتبط با CSC، ABCB5، ALDH1A1، CD133

و NANOG را در سلول‌های گلیوبلاستومای SNB19، T98G و U251 دچار فروتنظیمی کرده بود (شکل 2B

و شکل S1). وسترن بلات نشان داد که CD133، ALDH1، NANOG، ID1 و ID3 در سلول‌های

گلیوبلاستومای U251 و T98G به محض تیمار در ۷۲ ساعت دچار فروتنظیمی شده بود (شکل S1). پروتئین

ID1 در ۲۴ ساعت دچار فراتنظیمی شده بود (شکل S1)، به هر حال، سطوح mRNA در ۴۸ ساعت کاهش یافته

بود (جدول ۱) و سطوح پروتئین توسط تیمار ۷۲ ساعته‌ی بعداز ONC201 کاهش پیدا کرده بود (شکل S1).

ONC201 به طور معنی داری تشکیل توموروسفر را در سلول‌های سرطان پروستات انسانی 22Rv1، DU145

و PC3 کاهش داده بود. ONC201 به طور معنی داری ژن‌های مرتبط با CSC، یعنی ABCB5، ALDH1A1،

ALDH7A1، WNT16، CD133 و NANOG را در سلول‌های سرطان پروستات DU145 دچار فروتنظیمی

کرده بود (شکل 2D). وسترن بلات نشان داد که WNT16 در LNCaP و 22Rv1 دچار فروتنظیمی می‌شود در

حالی که مارکر CSC CD44 در سلول‌های 22Rv1 به محض تیمار با ONC201 در ۷۲ ساعت دچار

فروتنظیمی شده بود (شکل S1). بنابراین، تغییرات در رونویسی مرتبط با سلول بنیادی و اثرات ضد CSC

ONC201، مشاهده شده در سرطان کلورکتال، به سرطان پروستات و گلیوبلاستوما بسط داده شد.

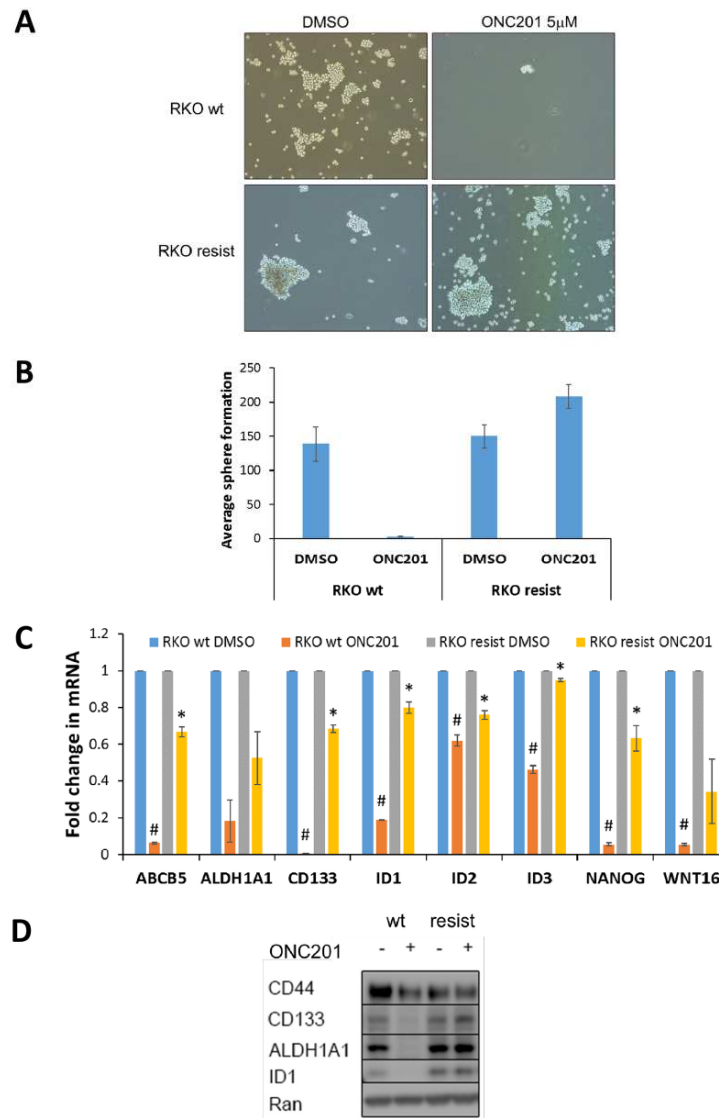
مهار CSCها در سلول‌های توموری دارای مقاومت اکتسابی به ONC201 رخ نمی‌دهد

ما یک ارتباطی را بین تغییرات میانجی گری شده با **ONC201** در رونویسی ژن مرتبط با سلول بنیادی و اثربخشی ضد توموری کشف کردیم. **ONC201**، تشکیل اسفر سلول‌های نوع وحشی **RKO (wt)** والدینی را مهار کرده بود اما تشکیل اسفر سلول‌های **RKO** دارای مقاومت اکتسابی به **ONC201** را مهار نکرده بود (شکل 3A و 3B). بنابراین، **ONC201** به طور معنی داری سطوح mRNA ژن‌های مرتبط با سلول بنیادی **ID1**، **ID2**، **ID3**، **FZD4** (۱،۶ مرتبه)، **HES7** (۲،۵ مرتبه)، **CCNB1** (۳،۷ مرتبه) و **TCF3** (۱،۸ مرتبه) را در سلول‌های **RKO wt** و نه در سلول‌های **RKO** مقاوم به **ONC201** دچار فروتنظیمی کرده بود (جدول S6)، که نشان می‌دهد که مهار **CSC** می‌تواند به عنوان یک بیومارکر برای پاسخ **ONC201** به خدمت گرفته شود. تایید با **qRT-PCR** نشان می‌دهد که مهار میانجی گری شده با **ONC201** ژن‌های مرتبط با **CSC**، یعنی **CD133**، **ABC5**، **ID1**، **ID2**، **ID3** و **NANOG** در سلول‌های **RKO wt** به طور معنی داری در سلول‌های **RKO** مقاوم به **ONC201** کاهش پیدا کرده بود (شکل 3C). وسترن بلات تایید کرده بود که فروتنظیمی میانجی گری شده با **ONC201**، در **CD44**، **CD133**، **ALDH1** و **ID1** در سلول‌های **RKO wt** رخ داده بود اما در سلول‌های **RKO** مقاوم به **ONC201** رخ نداده بود (شکل 3D). بنابراین، کاهش **CSC**، یک مولفه‌ی مهم از اثربخشی ضد سرطانی **ONC201** می‌باشد و می‌تواند به عنوان یک بیومارکر فارماکودینامیک از پاسخ **ONC201** به خدمت گرفته شود.

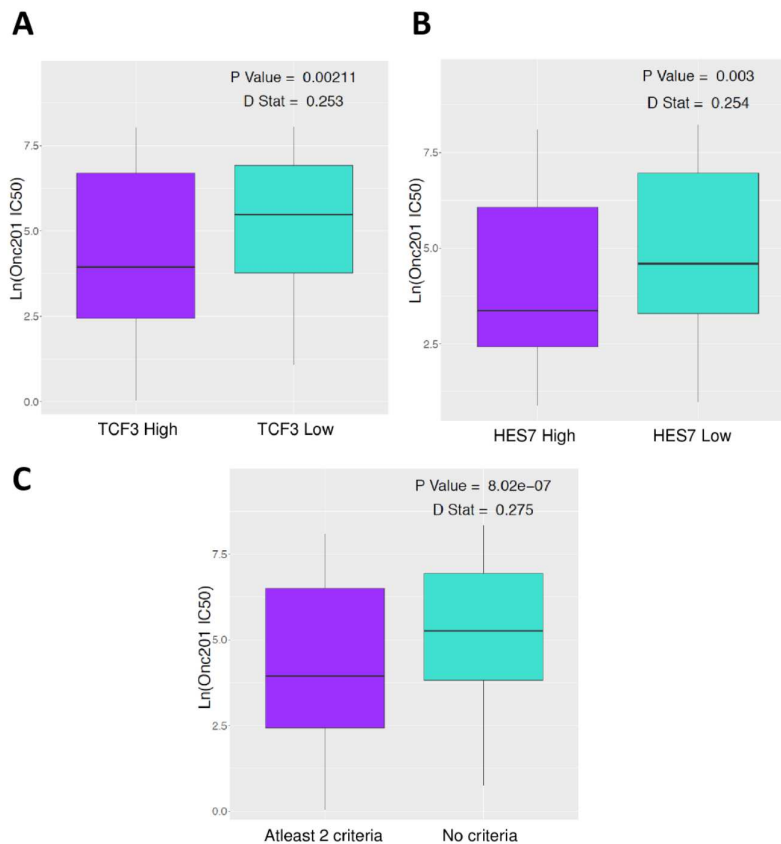
### بیان **CSC** در تومورهای جامد به عنوان یک بیومارکر بالقوه برای پاسخ به **ONC201**

در نهایت، ما از پنل **GDSC** که دارای حدود ۱۰۰۰ رده‌ی سلول سرطان منحصر به فرد است برای تعیین اینکه آیا اثربخشی **ONC201** در محیط *in vitro* با بیان ژن‌های مرتبط با **CSC** در محیط‌های درمانی مرتبط هست یا نه، استفاده کردیم. همه‌ی ژن‌های شناسایی شده در مطالعات قبلی، تست شدند و یک ارتباط معنی داری با بیان **ID1** ( $Dstat=0.18$ )، **CD44** ( $Dstat=0.173$ )، **TCF3** ( $Dstat=0.253$ )، و **HES7** ( $Dstat=0.254$ ) مشاهده شد (جدول S7). به طور قابل توجهی، ما به این نتیجه دست یافتیم که، بیان بالای **TCF3** و **HES7** به طور معنی داری حساسیت به **ONC201** را پیش‌گویی می‌کند (شکل 4A و 4B)، که پیشنهاد می‌کند که **ONC201** ممکن است در تومورهایی با سیگنالینگ **Wnt** پایه‌ای بالا موثر باشد. همچنین، بیان پایین **ID1** و **CD44** به طور معنی داری حساسیت به **ONC201** را پیش‌گویی می‌کند (شکل S1). این داده‌ها با ناهمگنی

مشاهده شده در جمعیت‌های CSC دارای ترکیب‌های مختلف از مارکرهایی که جمعیت‌های سلولی مختلف بیان می‌کنند، سازگار است (۲۱). به علاوه، زمانی که ما اثربخشی ONC201 را در رده‌های سلولی که حداقل دو تا از معیارهای مبتنی بر بیان را داشتند (بیان پایین ID1/CD44 و بیان بالای TCF3/HES7)، در مقابل رده‌های سلولی که هیچ یک از آن‌ها را نداشتند، تست کردیم، یک درجه‌ی بزرگ‌تری از جدایی (تغکیک) وجود داشت (شکل 4C) (p-value=8.02e-07, Dstat=0.2749). این نتایج نشان می‌دهند که بیان پیش از تیمار ژن-های CSC مشخص، می‌تواند به عنوان یک بیومارکر پیش‌گو برای پاسخ ONC201 به خدمت گرفته شود و اینکه ترکیب بیان چندین ژن CSC منجر به یک پیش‌گوی عمومی قوی‌تر می‌شود.



شکل ۳. مهار CSCs در تومورهای سلولی دارای مقاومت اکتسابی به ONC201 رخ نمی‌دهد. (A) اثر DMSO/ONC201 (۵ میکرومولار ۷۲ ساعت، n=3) روی تشکیل اسفر تومور نوع وحشی RKO (wt) و سلول‌های مقاوم به ONC201. تصویر نماینده‌ی (بزرگ نمایی 10X) اسفرها (بیشتر از ۶۰ میکرومتر) (B) تعیین کمیت اسفرها در (A). (C) qRT-PCR برای ژن‌های مرتبط با سلول بنیادی مشخص در سلول‌های مقاوم به ONC201 و نوع وحشی RKO (wt) و تیمار شده با DMSO/ONC201 (۵ میکرومولار، ۴۸ ساعت، n=3). # نشان دهنده‌ی  $p < 0.003$  نسبت به DMSO می‌باشد. \* نشان دهنده‌ی  $p < 0.05$  نسبت به wt می‌باشد. (D) وسترن بلات برای پروتئین‌های مرتبط با سلول بنیادی مشخص در سلول‌های مقاوم به ONC201 و نوع وحشی RKO (wt) تیمار شده با DMSO/ONC201 (۵ میکرومولار، ۷۲ ساعت).



شکل ۴. بیان ژن مرتبط با CSC در تومورهای جامد به عنوان یک بیومارکر بالقوه از پاسخ به ONC201. توزیع اثربخشی ONC201 (IC50) در بیشتر از ۱۰۰۰ رده‌ی سلولی GDSC بر اساس بیان RNA پایه‌ی (A) TCF3، (B) HES7. (C) توزیع اثربخشی ONC201 (IC50) در بیشتر از ۱۰۰۰ رده‌ی سلولی GDSC بر اساس تکمیل

حداقل دو معیار مبتنی بر بیان (بیان پایین ID1/CD44 و بیان بالای TCF3/HES7) در برابر رده‌های سلولی که هیچ یک از معیارها را تکمیل نکرده بودند. p-value و آمار D نشان داده شده است.

## بحث

ما قبلاً اثربخشی ضد CSC201 در محیط *in vitro* را با استفاده از مارکرهای CSC تایید شده، کشت-های اسفر و *in vivo* را با استفاده از مطالعات محدود کننده‌ی رقت در سرطان کولورکتال اثبات کردیم (۹). به علاوه، مهار میانجی‌گری شده با ONC201 سلول‌های بنیادی لوسمی، در محیط *in vivo* تایید شده است (۱۰). کاهش CSCs‌های کولورکتال مقاوم به شیمی‌درمانی توسط ONC201 شامل یک مکانیسم مهار خود نوزایی و القا مرگ سلولی وابسته به Akt-ERP-Foxo3-DR5-TRAIL می‌باشد (۱۱،۹). به هر حال، این واضح نیست که آیا کاهش CSCs، توسط ONC201‌ها یک پیامد از مرگ سلولی می‌باشد یا شامل اثرات اختصاصی روی ژن‌های مرتبط با سلول بنیادی است که جلوتر از مهار خود نوزایی و مرگ سلولی می‌باشد. در این مطالعه، ما نشان دادیم که ONC201 به طور اختصاصی رونویسی مرتبط با سلول بنیادی و مرگ سلولی را در نقاط زمانی (۱۸ و ۴۸ ساعت) که قبلاً از مرگ سلولی است و ۶۰-۷۲ ساعت بعد از تیمار در سلول‌های تومور جامد رخ می‌دهد را تحت تاثیر قرار می‌دهد (۱۱). این اثرات اولیه روی رونویسی مرتبط با سلول بنیادی توسط مهار مارکرهای CSC و خود نوزایی توسط ONC201 در ۶۰-۷۲ ساعت دنبال می‌شود (۹).

ONC201 مارکرهای CSC مختلف مانند CD44، CD133، ABCB5، ALDH1A1، ALDH7A1، NANOG، ID1، ID2، ID3 و مسیرهای سیگنالینگ نوزایی مانند Wnt، Notch و Hedgehog را ضعیف می‌کند (۱۵،۱۶،۱۹) که شروع تومور (۱۳،۲۱)، مقاومت به درمان (۱۷) و متاستاز (۱۴،۱۸) را در انواع سلولی مختلف تحریک می‌کند که یک فرصتی را برای اثرات ضد توموری و ضد CSC با طیف وسیع فراهم می‌کند. توانایی برای هدف‌گیری مکانیسم‌های تایید شده‌ی مقاومت به شیمی‌درمانی CSC، مانند ABCB5، با اثربخشی ONC201 در مدل‌های CSC کولورکتال مقاوم به فلوروراسیل - ۵ که قبلاً اثبات شده بود، سازگار است (۹). پروفایل‌های بیان ژن در سلول‌های سرطان کولورکتال، نشان داده‌اند که ONC201، ژن‌های CSC درگیر در سرطان پروستات و گلیوبلاستوما را هدف می‌گیرد. بنابراین، مهار خودنوزایی میانجی‌گری شده با ONC201 در تومورهای جامد در رده‌های سلولی سرطان پروستات و سلول‌های گرفته شده از بیماران گلیوبلاستومایی تایید شده بود. این

مطالعه، شواهد بیشتری را برای اثربخشی ضد سرطانی با طیف گسترده‌ی **ONC201** فراهم کرده است و به عنوان یک منطقی برای کارآزمایی‌هایی فاز I/II تک عاملی در حال پیشرفت **ONC201** در تومورهای جامد مقاوم پیشرفته از جمله سرطان پروستات و گلیوبلاستوما به خدمت گرفته می‌شود (۷). داروهایی که سلول‌های توموری تمایز یافته را به تنهایی هدف می‌گیرند معمولاً با پاسخ‌های بالینی اولیه که ممکن است دوره‌ای باشند یا نباشند، مرتبط هستند (۲۲). توانایی **ONC201** برای هدف‌گیری CSCsها یک فرصتی را برای دستیابی بالقوه به پاسخ‌های دوره‌ای در بیمارانی با بیماری پیشرفته‌ی مقاوم به درمان فراهم می‌کند، به ویژه در بیماری‌هایی مانند گلیوبلاستوما‌ی عود کننده. به علاوه، شیمی درمانی‌های تایید شده یا عوامل هدفمند با اثرات ضد تکثیری که CSCsها را هدف نمی‌گیرند می‌توانند با **ONC201** ترکیب شوند تا مزایای بالینی دوره‌ای و غیر انباشته‌ی سریعی را فراهم کنند. این نتایج همچنین نشان می‌دهند که **ONC201** می‌تواند در مجموعه‌های یاور / پیش‌گیرانه برای عود سرطان و پیش‌گیری از متاستاز مورد استفاده قرار بگیرد.

ما به منظور امکان پذیر ساختن ترجمه‌ی بالینی نتایجی که به دست آوردیم، نشان دادیم که بیان ژن مرتبط با CSC می‌تواند به عنوان یک بیومارکر بالقوه برای پاسخ **ONC201** مورد استفاده قرار بگیرد. برای اثبات کاربرد به عنوان یک بیومارکر فارماکوداینامیک، سلول‌هایی با مقاومت اکتسابی به **ONC201** که قبلاً در آزمایشگاه ما تولید شده بودند، مورد استفاده قرار گرفتند (۱۲). مهار CSC میانجی‌گری شده با **ONC201**، در سلول‌های سرطانی حساس رخ می‌دهد اما در سلول‌های سرطانی دارای مقاومت اکتسابی رخ نمی‌دهد همانطوری که توسط تشکیل اسفر، سطوح پروتئین و بیان ژن مارکرهای تایید شده‌ی CSC تایید شده بود. به منظور اثبات کاربرد به عنوان یک بیومارکر پیش‌گو، ما از پنل GDSC رده‌های سلول سرطانی استفاده کردیم (۷). جالب تر اینکه، بیان پایه‌ی ژن‌های مرتبط با CSC از جمله سیگنالینگ پایه‌ی بالای Wnt، اثربخشی ضد سرطانی **ONC201** را در بیشتر از ۱۰۰۰ رده‌ی سلول سرطانی پیش‌گویی کرده بود. بنابراین، مطالعات جفتی که در حال تست بیان CSC در سطح RNA و پروتئین با استفاده از سلول‌های توموری در گردش و بیوپسی‌های به دست آمده از مطالعات بالینی **ONC201** در حال پیشرفت هستند، دارای ارزش می‌باشند.



## References

1. Liu R, Wang X, Chen GY, Dalerba P, Gurney A, Hoey T, et al. The prognostic role of a gene signature from tumorigenic breast-cancer cells. *N Engl J Med*. 2007; 356(3):217–26. <https://doi.org/10.1056/NEJMoa063994> PMID: 17229949.
2. Zeppernick F, Ahmadi R, Campos B, Dictus C, Helmke BM, Becker N, et al. Stem cell marker CD133 affects clinical outcome in glioma patients. *Clin Cancer Res*. 2008; 14(1):123–9. <https://doi.org/10.1158/1078-0432.CCR-07-0932> PMID: 18172261.
3. Chen J, Xia Q, Jiang B, Chang W, Yuan W, Ma Z, et al. Prognostic Value of Cancer Stem Cell Marker ALDH1 Expression in Colorectal Cancer: A Systematic Review and Meta-Analysis. *PLoS One*. 2015; 10(12):e0145164. <https://doi.org/10.1371/journal.pone.0145164> PMID: 26682730.
4. Smith DC, Eisenberg PD, Manikhas G, Chugh R, Gubens MA, Stagg RJ, et al. A phase I dose escalation and expansion study of the anticancer stem cell agent demcizumab (anti-DLL4) in patients with previously treated solid tumors. *Clin Cancer Res*. 2014; 20(24):6295–303. <https://doi.org/10.1158/1078-0432.CCR-14-1373> PMID: 25324140.
5. Hitron M, Stephenson J, Chi KN, Edenfield WJ, Leggett D, Li Y, et al. A phase 1b study of the cancer stem cell inhibitor BBI608 administered with paclitaxel in patients with advanced malignancies. *J Clin Oncol*. 2014 (suppl; abstr 2530); 32:5s.
6. Rudin CM, Pietanza MC, Bauer TM, Spigel DR, Ready N, Morgensztern D, et al. Safety and efficacy of single-agent rovalpituzumab tesirine (SC16LD6.5), a delta-like protein 3 (DLL3)-targeted antibody-drug conjugate (ADC) in recurrent or refractory small cell lung cancer (SCLC). *J Clin Oncol*. 2016 (suppl; abstr LBA8505); 34.
7. Allen JE, Kline CL, Prabhu VV, Wagner J, Ishizawa J, Madhukar N, et al. Discovery and clinical introduction of first-in-class imipridone ONC201. *Oncotarget*. 2016. <https://doi.org/10.18632/oncotarget.11814> PMID: 27602582.
8. Stein MN, Bertino JR, Kaufman HL, Mayer T, Moss R, Silk A, et al. First-in-human Clinical Trial of Oral ONC201 in Patients with Refractory Solid Tumors. *Clin Cancer Res*. 2017. <https://doi.org/10.1158/1078-0432.CCR-16-2658> PMID: 28331050.
9. Prabhu VV, Allen JE, Dicker DT, El-Deiry WS. Small-Molecule ONC201/TIC10 Targets Chemotherapy-Resistant Colorectal Cancer Stem-like Cells in an Akt/Foxo3a/TRAIL-Dependent Manner. *Cancer Res*. 2015; 75(7):1423–32. <https://doi.org/10.1158/0008-5472.CAN-13-3451> PMID: 25712124.
10. Ishizawa J, Kojima K, Chachad D, Ruvolo P, Ruvolo V, Jacamo RO, et al. ATF4 induction through an atypical integrated stress response to ONC201 triggers p53-independent apoptosis in hematological malignancies. *Sci Signal*. 2016; 9(415):ra17. <https://doi.org/10.1126/scisignal.aac4380> PMID: 26884599.
11. Allen JE, Krigsfeld G, Mayes PA, Patel L, Dicker DT, Patel AS, et al. Dual inactivation of Akt and ERK by TIC10 signals Foxo3a nuclear translocation, TRAIL gene induction, and potent antitumor effects. *Sci Transl Med*. 2013; 5(171):171ra17. <https://doi.org/10.1126/scitranslmed.3004828> PMID: 23390247.
12. Kline CL, Van den Heuvel AP, Allen JE, Prabhu VV, Dicker DT, El-Deiry WS. ONC201 kills solid tumor cells by triggering an integrated stress response dependent on ATF4 activation by specific eIF2alpha kinases. *Sci Signal*. 2016; 9(415):ra18. <https://doi.org/10.1126/scisignal.aac4374> PMID: 26884600.
13. Lasorella A, Benezra R, Iavarone A. The ID proteins: master regulators of cancer stem cells and tumour aggressiveness. *Nat Rev Cancer*. 2014; 14(2):77–91. <https://doi.org/10.1038/nrc3638> PMID: 24442143.
14. van den Hoogen C, van der Horst G, Cheung H, Buijs JT, Lippitt JM, Guzman-Ramirez N, et al. High aldehyde dehydrogenase activity identifies tumor-initiating and metastasis-initiating cells in human prostate cancer. *Cancer Res*. 2010; 70(12):5163–73. <https://doi.org/10.1158/0008-5472.CAN-09-3806> PMID: 20516116.
15. Ying M, Tilghman J, Wei Y, Guerrero-Cazares H, Quinones-Hinojosa A, Ji H, et al. Kruppel-like factor-9 (KLF9) inhibits glioblastoma stemness through global transcription repression and integrin alpha6 inhibition. *J Biol Chem*. 2014; 289(47):32742–56. PMID: 25288800.
16. Clements WK, Kim AD, Ong KG, Moore JC, Lawson ND, Traver D. A somitic Wnt16/Notch pathway specifies haematopoietic stem cells. *Nature*. 2011; 474(7350):220–4. <https://doi.org/10.1038/nature10107> PMID: 21654806.
17. Sun Y, Campisi J, Higano C, Beer TM, Porter P, Coleman I, et al. Treatment-induced damage to the tumor microenvironment promotes prostate cancer therapy resistance through WNT16B. *Nat Med*. 2012; 18(9):1359–68. <https://doi.org/10.1038/nm.2890> PMID: 22863786.
18. Gujral TS, Chan M, Peshkin L, Sorger PK, Kirschner MW, MacBeath G. A noncanonical Frizzled2 pathway regulates epithelial-mesenchymal transition and metastasis. *Cell*. 2014; 159(4):844–56. <https://doi.org/10.1016/j.cell.2014.10.032> PMID: 25417160.
19. Jin X, Jeon HY, Joo KM, Kim JK, Jin J, Kim SH, et al. Frizzled 4 regulates stemness and invasiveness of migrating glioma cells established by serial intracranial transplantation. *Cancer Res*. 2011; 71(8):3066–75. <https://doi.org/10.1158/0008-5472.CAN-10-1495> PMID: 21363911.
20. Zhang X, Chen Y, Ye Y, Wang J, Wang H, Yuan G, et al. Wnt signaling promotes hindgut fate commitment through regulating multi-lineage genes during hESC differentiation. *Cell Signal*. 2016; 29:12–22. <https://doi.org/10.1016/j.cellsig.2016.09.009> PMID: 27693749.
21. O'Brien CA, Kreso A, Ryan P, Hermans KG, Gibson L, Wang Y, et al. ID1 and ID3 regulate the self-renewal capacity of human colon cancer-initiating cells through p21. *Cancer Cell*. 2012; 21(6):777–92. <https://doi.org/10.1016/j.ccr.2012.04.036> PMID: 22698403.
22. Jones RJ, Matsui WH, Smith BD. Cancer stem cells: are we missing the target? *J Natl Cancer Inst*. 2004; 96(8):583–5. PMID: 15100335.





این مقاله، از سری مقالات ترجمه شده رایگان سایت ترجمه فا میباشد که با فرمت PDF در اختیار شما عزیزان قرار گرفته است. در صورت تمایل میتوانید با کلیک بر روی دکمه های زیر از سایر مقالات نیز استفاده نمایید:

لیست مقالات ترجمه شده ✓

لیست مقالات ترجمه شده رایگان ✓

لیست جدیدترین مقالات انگلیسی ISI ✓

سایت ترجمه فا ؛ مرجع جدیدترین مقالات ترجمه شده از نشریات معتبر خارجی